

УДК 537.226 : 536.42

© 1991

УЛЬТРАЗВУКОВЫЕ ИССЛЕДОВАНИЯ ФАЗОВЫХ ПЕРЕХОДОВ В СЛОИСТЫХ КРИСТАЛЛАХ $TlInS_2$ и $TlGaSe_2$

*Ю. В. Илисавский, В. М. Стернин, Р. А. Сулейманов, Ф. М. Салаев,
М. Ю. Сейдов*

Исследованы температурные зависимости скоростей распространения и поглощения ультразвуковых волн в слоистых полупроводниках $TlInS_2$ и $TlGaSe_2$. Полученные результаты интерпретированы на основе представлений о существовании в указанных кристаллах фазовых переходов в сегнетоэлектрическую соразмерную фазу через промежуточную несоразмерную.

В температурных зависимостях диэлектрических, оптических и тепловых свойств слоистых полупроводников $TlInS_2$ и $TlGaSe_2$ [1–6] обнаруживаются аномалии, которые интерпретируются в предположении о существовании в этих кристаллах фазовых переходов (ФП) в сегнетоэлектрическую соразмерную фазу через промежуточную несоразмерную.

Согласно структурным данным [7], кристаллы $TlInS_2$ и $TlGaSe_2$ при комнатной температуре имеют моноклинную структуру и описываются пространственной группой симметрии C_{2h}^6 (оси $a \approx b$ моноклинной ячейки лежат в плоскости слоев, ось c составляет небольшой угол с направлением нормали к слоям).

По данным нейтронографических исследований, несоразмерная фаза, существующая в интервале температур 214–200 К ($TlInS_2$) и 120–107 К ($TlGaSe_2$), характеризуется вектором модуляции $q_{inc} = (\delta, \delta, 0.25)$. Сегнетоэлектрический ФП сопровождается учетверением периода элементарной ячейки в направлении оси c ; возникающая в результате перехода в сегнетофазу поляризация лежит в плоскости слоев [8–10].

Из совокупности имеющихся экспериментальных данных [11] следует вывод о более сложной, чем было изложено выше, последовательности ФП в $TlInS_2$ и $TlGaSe_2$. Наблюдение сегнетоэлектрической мягкой моды, температурное поведение диэлектрической восприимчивости указывают на то, что и природа ФП в этих кристаллах остается не вполне ясной [12–14].

В настоящей работе приводятся результаты ультразвуковых (УЗ) исследований ФП в $TlInS_2$ и $TlGaSe_2$ с целью получения дополнительных данных о природе ФП в этих кристаллах.

Подробный теоретический анализ ФП в кристаллах $TlInS_2$ и $TlGaSe_2$, основанный на факте существования ФП в несоразмерную фазу, с последующим переходом в соразмерную с учетверением периода элементарной ячейки вдоль оси c приведен в [15]. Не выписывая полностью выражение для свободной энергии [15], укажем вид наиболее важных, на наш взгляд, инвариантов, составленных из компонент параметра порядка и тензора деформации

$$\eta_1 \eta_2 (a_1 u_{xx} + a_2 u_{yy} + a_3 u_{zz} + a_4 u_{xz}) + \eta_1 \eta_2 (b_1 u_{xx}^2 + b_2 u_{yy}^2 + b_3 u_{zz}^2 + b_4 u_{xy}^2 + b_5 u_{xz}^2 + b_6 u_{yz}^2) + \dots, \quad (1)$$

η_1, η_2 — компоненты параметра порядка; оси x и y лежат в плоскости слоев; ось z перпендикулярна слоям.

Согласно существующим представлениям [16], инварианты, линейные по деформации, должны приводить к скачкообразному уменьшению скорости УЗ волн и возрастанию затухания вблизи T_c (температура перехода в несоразмерную фазу), а инварианты квадратичные по деформации, — только к изменению наклона в температурной зависимости скорости.

В [17, 18] было указано на необычное температурное поведение скорости поперечной волны в кристаллах K_2SeO_4 , $RbZnCl_4$ и K_2ZnCl_4 , заключающееся в уменьшении скорости с понижением температуры начиная с T_c и достижении минимума при T_c (температура перехода в соразмерную фазу). В [19–21] такое поведение было описано с учетом инвариант $\sim \rho^3 u_{xz} \cos 3\phi$ (в кристаллах K_2SeO_4 и др. ФП сопровождается устроением элементарной ячейки; ρ , ϕ — компоненты параметра порядка в полярной системе координат).

Аналогичный инвариант в случае $TlInS_2$ и $TlGaSe_2$ имеет вид $\sim \rho^4 (c_1 u_{xy} + c_2 u_{yz}) \cos 4\phi$. В [15] получено выражение для температурной зависимости упругих постоянных C_{66} и C_{44} в интервале температур $T_i \div T_c$, обусловленное наличием такого инварианта

$$C_{66} = C_{66}^0 / [1 - \text{const} (E(k)/K(k) - 1)], \quad (2)$$

C_{66}^0 — величина модуля упругости в точке T_i ; $K(k)$ и $E(k)$ — полные эллиптические интегралы I и II рода соответственно. Зависимость от температуры определяется параметром k из выражения

$$(T_i - T) = (T_i - T_c) [k/E(k)]^{1/2}. \quad (3)$$

Согласно (2), (3), скорости поперечных волн, соответствующих деформациям u_{xy} и u_{yz} , должны уменьшаться с понижением температуры от T_i и достигать минимума при T_c . Для этих же волн должны наблюдаться особенности в температурной зависимости затухания [22].

Учитывая, что структура кристаллов $TlInS_2$ и $TlGaSe_2$ близка к тетрагональной, можно ожидать проявления следующих особенностей в температурной зависимости скоростей УЗ волн. Скорости продольных волн, распространяющихся вдоль слоев L ($q \parallel$ слоям) и перпендикулярно им L ($q \perp$ слоям), могут испытывать скачок вблизи T_c с последующим изменением наклона. Температурные зависимости скоростей поперечных волн, распространяющихся перпендикулярно слоям T ($q \perp$ слоям) и вдоль слоев и поляризованных перпендикулярно слоям T_1 ($q \parallel$ слоям), должны быть идентичными и характеризоваться изменением наклона вблизи T_c .

В температурной зависимости скорости поперечной волны, распространяющейся в плоскости слоев и поляризованной в той же плоскости T ($q \parallel$ слоям), может наблюдаться необычное температурное поведение, заключающееся в уменьшении величины скорости с понижением температуры от T_i с достижением минимума вблизи T_c .

Температурные зависимости скоростей УЗ волн определялись методом наложения эхо-импульсов [23] в области 80—300 К. Затухание измерялось по экспоненциальному спаду амплитуд в серии отраженных эхо-импульсов. Точность измерений относительных изменений скоростей $10^{-4} \div 10^{-5}$. Измерения проводились на частоте 30 МГц, скорость изменения температуры 0.3—0.5 К/мин. Изучались скорости распространения и поглощения продольных и поперечных УЗ волн вдоль слоев и перпендикулярно им.

Результаты измерений $v(T)/v_0$ (v_0 — величина скорости при комнатной температуре) представлены на рис. 1. Анализ полученных данных проведен для каждого типа волны отдельно.

В $TlInS_2$ скорость продольной волны, распространяющейся перпендикулярно слоям v_L ($q \perp$ слоям), при понижении температуры от 300 К несколько растет, резко понижаясь в области 215—210 К, образуя при 210 К четкий минимум. Ниже 210 К v_L ($q \perp$ слоям) растет линейно до 196 К. В области 196—190 К наблюдается небольшая аномалия, характеризую-

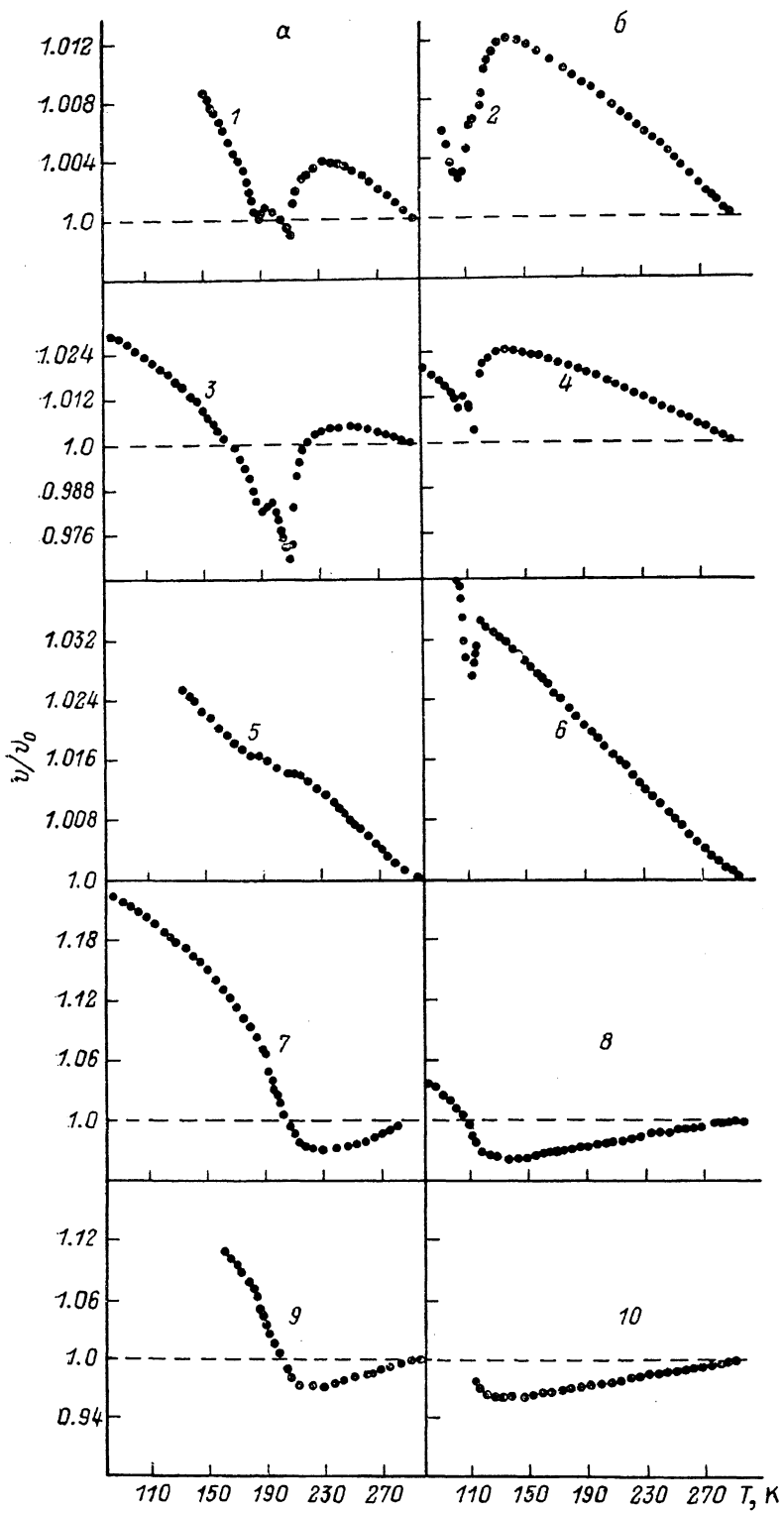


Рис. 1. Температурные зависимости скоростей распространения УЗ волн в слоистых кристаллах TlInS₂ (а) и TlGaSe₂ (б).

v_L (q || слоям): $v_0=2.9 \cdot 10^5$ см/с (1), $3.15 \cdot 10^5$ (2); v_L (q ⊥ слоям): $v_0=2.6 \times 10^5$ (3, 4); v_t (q || слоям): $v_0=1.1 \cdot 10^5$ (5), $1.4 \cdot 10^5$ (6); v_t (q ⊥ слоям): $v_0=0.7 \times 10^5$ (7), $0.78 \cdot 10^5$ (8); $v_{t\perp}$ (q || слоям): $v_0=0.65 \cdot 10^5$ (9), $0.92 \cdot 10^5$ (10).

щаяся температурным гистерезисом ~ 2 К. Ниже 190 К $v_L(\mathbf{q} \perp \text{слоям})$ вновь растет линейно, вблизи 180 К наблюдается излом.

В температурной зависимости затухания волны L ($\mathbf{q} \perp \text{слоям}$) наблюдается пик при 210 К (рис. 2).

В TlGaSe_2 поведение волны L ($\mathbf{q} \perp \text{слоям}$) аналогично вышеописанному для TlInS_2 . Вплоть до 115 К (T_i) $v_L(\mathbf{q} \perp \text{слоям})$ растет с понижением температуры, при 115 К наблюдается резкий отрицательный скачок. При дальнейшем понижении температуры $v_L(\mathbf{q} \perp \text{слоям})$ линейно растет до 108 К. В области 107–108 К (T_c) наблюдается аномалия. Ниже 107 К $v_L(\mathbf{q} \perp \text{слоям})$ растет линейно, при 100 К наблюдается излом.

Температурное поведение скорости продольной волны, распространяющейся в плоскости слоев, в обоих кристаллах аналогично поведению волны L ($\mathbf{q} \perp \text{слоям}$) с той лишь разницей, что аномалии в поведении $v_L(\mathbf{q} \parallel \text{слоям})$ выражены значительно слабее, чем в случае $v_L(\mathbf{q} \perp \text{слоям})$. К примеру, величина отрицательного скачка вблизи T_i составляет в TlInS_2 для $v_L(\mathbf{q} \perp \text{слоям})$ $\sim 3.6\%$, а для $v_L(\mathbf{q} \parallel \text{слоям})$ -0.4% .

В температурной зависимости затухания (TlInS_2) волны L ($\mathbf{q} \parallel \text{слоям}$) наблюдаются пики вблизи T_i и T_c .

Температурные зависимости скоростей поперечных волн, распространяющихся

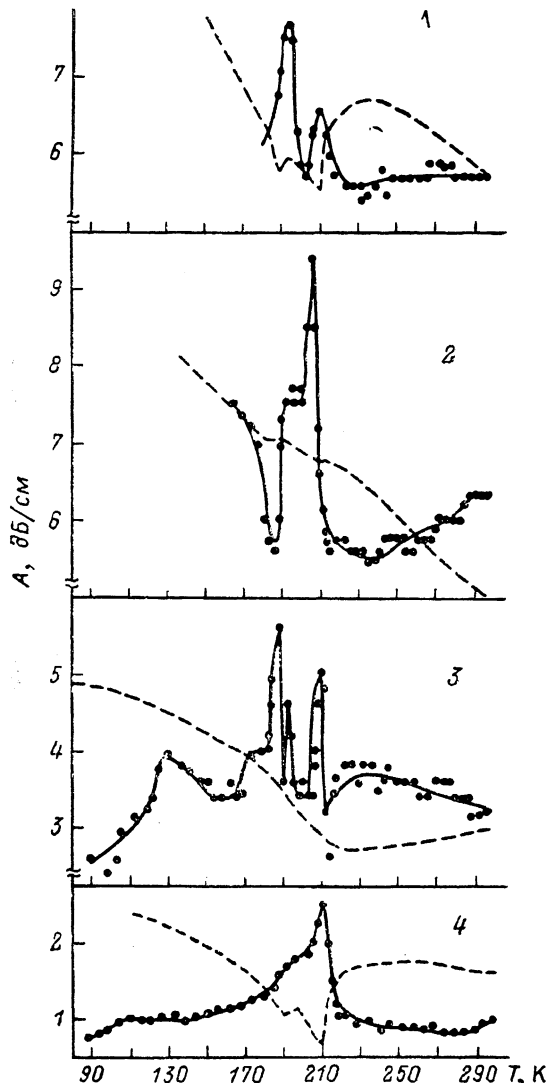


Рис. 2. Температурные зависимости затухания УЗ волн в TlInS_2 .

1 — L ($\mathbf{q} \parallel \text{слоям}$), 2 — T ($\mathbf{q} \parallel \text{слоям}$), 3 — L ($\mathbf{q} \perp \text{слоям}$), 4 — T ($\mathbf{q} \perp \text{слоям}$). Штриховые линии — температурные зависимости скоростей распространения соответствующих УЗ волн.

в плоскости слоев и поляризованных перпендикулярно им $v_L^\pm(\mathbf{q} \parallel \text{слоям})$ и распространяющихся перпендикулярно слоям $v_T(\mathbf{q} \perp \text{слоям})$ как в TlInS_2 , так и в TlGaSe_2 , практически совпадают. Из рис. 1 видно, что при понижении температуры от комнатной скорости обоих типов волн уменьшаются вплоть до температур, близких к T_i , а затем линейно растут. Такое поведение можно интерпретировать как изменение наклона в температурной зависимости скорости поперечной волны при T_i . Вблизи T_c в обоих кристаллах наблюдаются небольшие аномалии.

Для обоих типов волн характерен сильный рост скорости с понижением температуры ниже T_i (в TlInS_2 , к примеру, в интервале 215–90 К $\Delta v/v_0 \sim 24\%$). Наблюдаются некоторая разница в величинах скоростей волн T ($\mathbf{q} \perp \text{слоям}$) и T ($\mathbf{q} \parallel \text{слоям}$). Температурное поведение затухания характеризуется для указанных волн многочисленными аномалиями, наи-

более интенсивные из которых в TiInS_2 располагаются вблизи T_i и T_c (рис. 2).

Температурная зависимость скорости поперечной волны, распространяющейся в плоскости слоев и поляризованной в той же плоскости v_t ($\mathbf{q} \parallel$ слоям), существенно отличается от зависимости указанных выше поперечных волн. В обоих кристаллах v_t ($\mathbf{q} \parallel$ слоям) растет линейно с понижением температуры вплоть до T_i . Ниже T_i поведение волны v_t ($\mathbf{q} \parallel$ слоям) отлично в TiGaSe_2 и TiInS_2 . В TiGaSe_2 вблизи T_i v_t ($\mathbf{q} \parallel$ слоям) начинает резко понижаться с понижением температуры, достигая минимума при T_c , по аналогии с необычным поведением скорости поперечной волны в кристаллах K_2SeO_4 , RbZnCl_4 и K_2ZnCl_4 . Численный расчет температурной зависимости v_t ($\mathbf{q} \parallel$ слоям), проведенный с помощью выражения (2), показывает хорошее согласие расчетной кривой с экспериментальной, что позволяет сделать вывод об обусловленности указанной зависимости наличием инварианта $\sim \rho^4 u_{xy} \cos 4\varphi$ в разложении свободной энергии.

В TiInS_2 v_t ($\mathbf{q} \parallel$ слоям) с понижением температуры не уменьшается, но перестает расти вблизи T_i , образуя плато в области 214–207 К в температурной зависимости. Аналогичное плато наблюдается в области 190–180 К. В интервале 207–190 К и ниже 180 К v_t ($\mathbf{q} \parallel$ слоям) меняется линейно.

Как и в TiGaSe_2 , поведение волны T ($\mathbf{q} \parallel$ слоям) в TiInS_2 вблизи T_i в интервале 214–207 К можно попытаться объяснить действием механизма, обусловленного наличием инварианта $\sim \rho^4 u_{xy} \cos 4\varphi$. Однако в этом случае точку 207 К приходится принять за температуру перехода в соразмерную фазу, что не согласуется с $T_c \approx 200$ К, полученной в многочисленных экспериментах. Принимая во внимание факт наличия пика в температурной зависимости затухания волны T ($\mathbf{q} \parallel$ слоям) при 207 К, а также пики в той же точке в температурных зависимостях реальной и мнимой части диэлектрической проницаемости [11], можно предположить, что в TiInS_2 при 207 К происходит еще один ФП с возникновением полярного состояния.

Таким образом, описанные выше экспериментальные результаты в целом можно описать на основе предположения о существовании в TiInS_2 и TiGaSe_2 ФП в соразмерную фазу через промежуточную несоразмерную. Возможно, однако, что в TiInS_2 происходит дополнительный ФП внутри несоразмерной фазы.

Авторы благодарят Б. Р. Гаджиева за плодотворные дискуссии.

Список литературы

- [1] Волков А. А., Гончаров Ю. Г., Козлов Г. В., Лебедев С. П., Прохоров А. М., Алиев Р. А., Аллахвердиев К. Р. // Письма в ЖЭТФ. 1983. Т. 37. № 11. С. 517–520.
- [2] Волков А. А., Гончаров Ю. Г., Козлов Г. В., Аллахвердиев К. Р., Сардарлы Р. М. // ФТТ. 1983. Т. 25. № 12. С. 3583–3585.
- [3] Burlakov V. M., Yakhnev M. R. // Phys. St. Sol. 1989. V. B151. P. 337–346.
- [4] Алиев Р. А., Аллахвердиев К. Р., Баранов А. И., Иванов Н. Р., Сардарлы Р. М. // ФТТ. 1984. Т. 26. № 5. С. 1271–1276.
- [5] Абдуллаев Н. А., Аллахвердиев К. Р., Беленъкий Г. Л., Мамедов Т. Г., Сулейманов Р. А., Шарифов Я. Н. // ДАН АзССР. 1985. Т. 41. № 12. С. 21–23.
- [6] Abdullaev N. A., Allakhverdiev K. R., Belenkii G. L., Mamedov T. G., Suleimanov R. A., Sharifov Ya. N. // Sol. St. Comm. 1985. V. 53. N 7. P. 601–602.
- [7] Henkel W., Hochheimer H. D., Carloni C., Werner A., Ves S., Schnering H. G. // Phys. Rev. B. 1982. V. 26. N 6. P. 3211–3221.
- [8] Вахрушев С. Б., Жданова В. В., Квятковский Б. Е., Окунева Н. М., Аллахвердиев К. Р., Алиев Р. А., Сардарлы Р. М. // Письма в ЖЭТФ. 1984. Т. 39. № 6. С. 245–247.
- [9] Вахрушев С. Б., Квятковский Б. Е., Окунева Н. М., Аллахвердиев К. Р., Сардарлы Р. М. // Препринт ЛФТИ. 1984. № 886. 12 с.
- [10] McMorrow D. F., Cowley R. A., Hatton P. D., Banys J. // J. Phys.: Condens. Matter. 1990. V. 2. N 16. P. 3699–3712.
- [11] Аллахвердиев К. Р., Салаев Ф. М., Гусейнов С. С., Александров О. З., Алиев С. Н. // Тез. докл. XII Всес. конф. по физике сегнетоэлектриков. Ростов н/Д, 1989. Т. 1. 171 с.

- [12] Бурлаков В. М., Виноградов Е. А., Гасанлы Н. М., Мельник Н. Н., Рябов А. П., Яхъяев М. Р. // ФТТ. 1988. Т. 30. № 6. С. 1734—1737.
- [13] Виноградов Е. А., Бурлаков В. М., Яхъяев М. Р., Рябов А. П., Мельник Н. Н., Умиров Б. С., Аникиев А. А. // ФТТ. 1988. Т. 30. № 9. С. 2847—2851.
- [14] Волков А. А., Гончаров Ю. Г., Коалов Г. В., Торгашев В. И., Широков В. Е. // ФТТ. 1988. Т. 30. № 12. С. 3621—3628.
- [15] Гаджиев Б. Р. // Автореф. канд. дисс. Баку, 1986.
- [16] Lemanov V. V. // Ferroelectrics. 1988. V. 78. N 1. P. 163—172.
- [17] Есаян С. Х., Леманов В. В. // Изв. АН СССР, сер. физ. 1983. Т. 47. № 3. С. 591—597.
- [18] Hirotsu S., Toyota K., Hamato K. // Ferroelectrics. 1981. V. 36. N 1—4. P. 319—322.
- [19] Санников Д. Г., Головко В. А. // ФТТ. 1984. Т. 26. № 4. С. 1117—1123.
- [20] Леманов В. В., Есаян С. Х., Карапетян А. // ФТТ. 1986. Т. 28 № 6. С. 1683—1389.
- [21] Lemanov V. V., Esayan S. K. // Ferroelectrics. 1987. V. 73. N 1—2. P. 125—144.
- [22] Есаян С. Х. // Препринт ЛФТИ. 1985. № 964. 41 с.
- [23] Аллахвердиев К. Р., Илисавский Ю. В., Мамедов Т. Г., Нейманзаде И. К., Стернин В. М., Сулейманов Р. А., Сейдов М. Ю. // Препринт ИФАН АзССР (Баку). 1988. № 282. 24 с.

Институт физики АН АзССР
Баку

Поступило в Редакцию
22 июня 1990 г.